МАСЯГИН В. Ф., ПАНЮШКИНА Е. Н., ПЕСКОВА Е. Е. РЕШЕНИЕ УРАВНЕНИЙ ГАЗОВОЙ ДИНАМИКИ С ИСПОЛЬЗОВАНИЕМ ТЕХНОЛОГИИ CUDA

Аннотация. В работе описан численный алгоритм решения уравнений газовой динамики. Представлены этапы реализации алгоритма на языке CUDA С. Для численного эксперимента была выбрана задача Римана о распаде произвольного разрыва в двумерной постановке с начальными данными Сода. Приведенные численные результаты демонстрируют качество распараллеливания и возможности разработанной параллельной версии программы.

Ключевые слова: уравнения газовой динамики, параллельный алгоритм, технология CUDA.

MASYAGIN V. F., PANYUSHKINA E. N., PESKOVA E. E. THE SOLUTION OF GAS DYNAMICS EQUATIONS USING CUDA TECHNOLOGY

Abstract. The article presents a numerical algorithm for solving the equations of gas dynamics. The stages of implementation of the algorithm in the language of CUDA C are described. The two-dimensional Sod's Riemann problem was chosen for the numerical experiment. The results of the test problem solution demonstrate the parallelization quality and the capability of parallel version.

Keywords: gas dynamics equations, parallel algorithm, CUDA technology.

Введение.

Задачи вычислительной газовой динамики приобретают все большую важность и актуальность во многих областях современной науки и техники. Моделирование таких задач связано с требованием высокой точности результатов, которая при фиксированной расчетной области может наращиваться как путем измельчения используемых сеток, так и повышением точности численных алгоритмов. Оба пути ведут к увеличению расчетного времени. Решением проблем вычислительных ресурсов является использование и внедрение технологий параллельного программирования. В статье рассматривается численное решение двумерных уравнений газовой динамики с использованием технологии CUDA.

1. Математическая модель и дискретизация.

Система уравнений газовой динамики может быть представлена в следующем виде:

$$\frac{\partial U}{\partial t} + \frac{\partial F^{1}(U)}{\partial x} + \frac{\partial F^{2}(U)}{\partial y} = 0,$$
(1)

где

$$U = \begin{pmatrix} \rho \\ \rho u \\ \rho v \\ \rho(\varepsilon + \frac{u^2 + v^2}{2}) \end{pmatrix}; \ F^1(U) = \begin{pmatrix} \rho u \\ \rho u^2 + p \\ \rho uv \\ \rho u(\varepsilon + \frac{u^2 + v^2}{2}) + pu \end{pmatrix}; \ F^2(U) = \begin{pmatrix} \rho v \\ \rho uv \\ \rho v^2 + p \\ \rho v(\varepsilon + \frac{u^2 + v^2}{2}) + pv \end{pmatrix}.$$

Система дополнена уравнением состояния $p = (\gamma - 1)\rho\varepsilon$.

Здесь ρ, p, ε — плотность, давление и удельная внутренняя энергия соответственно, u, v — компоненты вектора скорости, γ — показатель адиабаты.

Схема для численного решения системы уравнений газовой динамики может быть представлена в виде:

$$\frac{d}{dt}U_{i}(t) + \frac{1}{\left|\Delta_{i}\right|} \int_{\partial \Delta_{i}} F \cdot n ds = 0.$$
(2)

Здесь $F=(F^{(1)},F^{(2)})^T$, n — внешняя нормаль к ребру ячейки $\partial \Delta_i$. Интеграл $\int_{\partial \Delta_i} F \cdot n ds$ рассчитываем с помощью квадратурной формулы Гаусса [1]:

$$\int_{\partial \Delta_{i}} F \cdot n \, ds \approx \sum_{k=1}^{3} \left| \partial \Delta_{i} \right| \sum_{j=1}^{q} \omega_{j} F(u^{+}(G_{j}^{(k)}, t), u^{-}(G_{j}^{(k)}, t)) \cdot n_{k}, \tag{3}$$

где $F(u^+(G_j^{(k)},t),u^-(G_j^{(k)},t))\cdot n_k$ — дискретные потоки, которые рассчитываются по схеме распада разрыва [2], $u^+(G_j^{(k)},t),u^-(G_j^{(k)},t)$ — «левые» и «правые» значения вектора U на границе ячейки.

Используем двухточечную квадратуру Гаусса q=2. Для ребра треугольника с координатами P_1 и P_2 , точки Гаусса определяем следующим образом [3]:

$$G_1=cP_1+(1-c)P_2,\ G_2=cP_2+(1-c)P_1,$$
 где $c=\frac{1}{2}+\frac{\sqrt{3}}{6},\ \omega_1=\omega_2=\frac{1}{2}.$

Таким образом, для нахождения газодинамических параметров в ячейке Δ_i на следующем шаге по времени используем формулу:

$$U_{i}^{n+1} = \Delta t (U_{i}^{n} - \frac{1}{S_{\Delta_{i}}} \sum_{k=1}^{3} \left| \partial \Delta_{i} \right| \sum_{j=1}^{2} \omega_{j} F(u^{+}(G_{j}^{(k)}, t), u^{-}(G_{j}^{(k)}, t)) \cdot n_{k}).$$
(4)

2. Реализация алгоритма на языке CUDA C.

Для проведения расчетов на GPU было сделано [4]:

- выделение памяти для данных и потоков на GPU;
- копирование данных на GPU;
- распределение ядер для вычисления;
- копирование полученных данных обратно в СРU;
- освобождение памяти GPU.

3. Исследовательские расчеты и оценка быстродействия.

Была проведена серия тестовых расчетов для задачи Римана о распаде произвольного разрыва. Расчеты были выполнены в двумерной постановке для начальных данных Сода [5]:

$$(\rho_1, u_1, v_1, p_1) = (1, 0, 0, 1), (\rho_2, u_2, v_2, p_2) = (0.125, 0, 0, 0.1).$$

Здесь ρ_1, u_1, v_1, p_1 и ρ_2, u_2, v_2, p_2 – плотность, компоненты вектора скорости и давление в канале слева и справа соответственно.

Задача рассматривалась в области $[-1,1] \times [-1,1]$. Разрыв располагался вдоль прямой x=0. Расчет производился до времени t=0.2 с шагом $\Delta t = 10^{-4}$.

На рисунках представлены значения плотности (рис. 1), скорости (рис. 2) и давления (рис. 3), которые хорошо согласуются с полученными ранее решениями этой задачи [6].

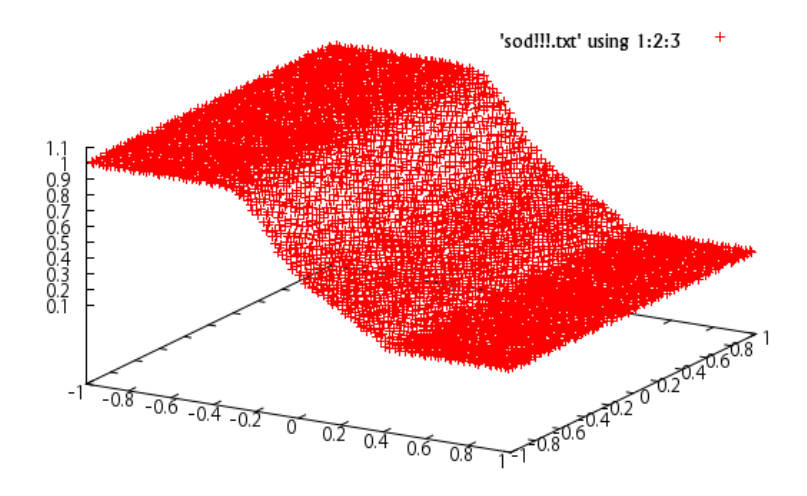


Рис 1. Плотность.

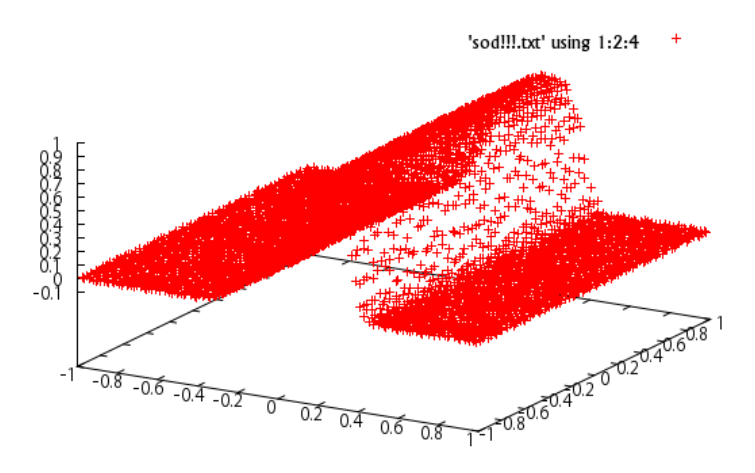


Рис. 2. Скорость.

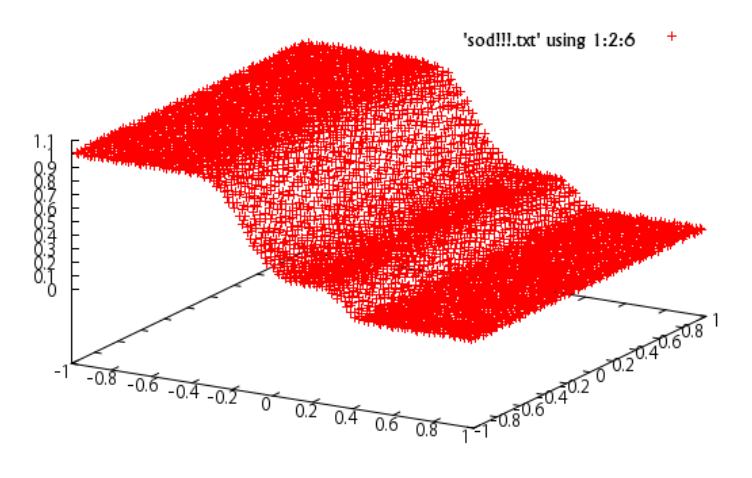


Рис. 3. Давление.

Была проведена серия расчетов на последовательности сгущающихся сеток. В таблице 1 представлено время работы последовательной и параллельной программ и ускорение, получаемое за счет использования GPU. Как видно из расчетов, с ростом количества ячеек расчетной области становится более выгодно использовать GPU.

Таблица 1

Количество ячеек	CPU (Intel Core i7-	GPU (NVidia	Ускорение, раз
	4500U 1.80GHz), c.	GeForce GT740M), c.	
4291	22.8	5.0	4.56
8582	45.0	7.7	5.84
17031	89.1	12.7	7.02
33948	179.5	22.6	7.94

Заключение

В работе построен параллельный алгоритм численного решения уравнений газовой динамики на неструктурированных сетках с использованием технологии CUDA. С помощью разработанных программ были проведены расчеты на последовательности сгущающихся сеток.

Как видно из результатов расчетов, с ростом количества ячеек в расчетной области становится более выгодно использовать параллельную версию программы на основе технологии CUDA.

ЛИТЕРАТУРА

- Li B. Q. Discontinuous finite elements in fluid dynamics and heat transfer. Berlin: Springer, 2006. – 578 p.
- 2. Годунов С. К., Забродин А. В., Иванов М. Я., Крайко А. Н., Прокопов Г. П. Численное решение многомерных задач газовой динамики. М.: Наука, 1976. 400 с.
- 3. Hu C., Shu C.-W. Weighted Essentially Non-Oscillatory Schemes on Triangular Meshes //
 Journal of Computational Physics. 1999. Vol. 150, № 1. pp. 97–127.
- 4. Сандерс Дж., Кэндрот Э. Технология CUDA в примерах: введение в программирование графических процессоров. М.: ДМК Пресс, 2011. 232 с.
- 5. Sod G. A. A survey of several finite difference methods for systems of nonlinear hyperbolic conservation laws // J. Comput. Phys. 1978. Vol. 27. pp. 1–31.
- 6. Жалнин Р. В., Змитренко Н. В., Ладонкина М. Е., Тишкин В. Ф. Численное моделирование развития неустойчивости Рихтмайера-Мешкова с использованием схем высокого порядка точности // Математическое моделирование. − 2007. − Т. 19. − № 10. − С. 61–66.